ГОСУДАРСТВЕННЫЙ НАУЧНЫЙ ЦЕНТР РОССИЙСКОЙ ФЕДЕРАЦИИ ОАО "КОНЦЕРН "**ЦНИИ** "ЭЛЕКТРОПРИБОР"

# XVIII САНКТ-ПЕТЕРБУРГСКАЯ МЕЖДУНАРОДНАЯ КОНФЕРЕНЦИЯ ПО ИНТЕГРИРОВАННЫМ НАВИГАЦИОННЫМ СИСТЕМАМ



30 мая - 01 июня 2011 г. САНКТ-ПЕТЕРБУРГ, РОССИЯ

# при поддержке:

- НАУЧНОГО СОВЕТА РОССИЙСКОЙ АКАДЕМИИ НАУК
  ПО ПРОБЛЕМАМ УПРАВЛЕНИЯ ДВИЖЕНИЕМ И НАВИГАЦИИ
- РОССИЙСКОГО ФОНДА ФУНДАМЕНТАЛЬНЫХ ИССЛЕДОВАНИЙ (РФФИ).
- МЕЖДУНАРОДНОЙ ОБЩЕСТВЕННОЙ ОРГАНИЗАЦИИ «АКАДЕМИЯ НАВИГАЦИИ И УПРАВЛЕНИЯ ДВИЖЕНИЕМ» (АНУД)
- АМЕРИКАНСКОГО ИНСТИТУТА АЭРОНАВТИКИ И АСТРОНАВТИКИ (AIAA)
- ИНСТИТУТА ИНЖЕНЕРОВ ПО ЭЛЕКТРОТЕХНИКЕ И ЭЛЕКТРОНИКЕ (IEEE), США
- АССОЦИАЦИИ АСТРОНАВТИКИ И АЭРОНАВТИКИ ФРАНЦИИ (АААF).
- ФРАНЦУЗСКОГО ИНСТИТУТА НАВИГАЦИИ (IFN)
- НЕМЕЦКОГО ИНСТИТУТА НАВИГАЦИИ (DGON)

# АЛГОРИТМ ИДЕНТИФИКАЦИИ СИСТЕМАТИЧЕСКИХ ОШИБОК РЛС ПО АЗИМУТУ НА ОСНОВЕ ФИЛЬТРАЦИИ КАЛМАНА \*

# Д. А. Бедин<sup>1</sup>

Институт математики и механики УрО РАН, 620990, г. Екатеринбург, ул. С. Ковалевской, 16. Телефон: +7 (343) 3753444. Факс: +7 (343) 3752581. E-mail: Jango.Urals@gmail.com

### Аннотация

Ключевые слова: измерения РЛС, систематическая ошибка, фильтр Калмана

Рассматривается задача, возникающая в управлении воздушным движением гражданской авиации. Для системы из нескольких обзорных радиолокационных станций (РЛС) требуется идентифицировать систематическую ошибку по азимуту, присутствующую в измерениях каждой станции. Наличие такой ошибки приводит к смещению наблюдаемого трека.

Предлагается математическая постановка, сводящаяся к задаче оценивания случайного вектора при условии нелинейного уравнения наблюдения. Приведено аналитическое решение в виде плотности апостериорного распределения. Практическое применение аналитического решения из-за его сложности затруднено, ввиду чего вводится упрощенное решение, использующее вычислительные формулы фильтрации Калмана.

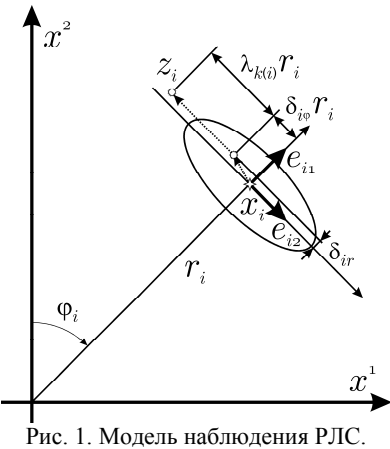
Алгоритм упрощенного решения опробован на модельных и реальных данных.

### Введение

Предполагается, что несколько РЛС осуществляют наблюдение за воздушным судном (ВС), измеряя в дискретные моменты времени дальность до него и азимут, по которому оно наблюдается. Условимся, что система РЛС такова, что на территории ее действия поверхность Земли можно подменить плоскостью (обозначим ее за П). Результаты измерений — отметки замеров — откладываются на плоскости П от точки, изображающей РЛС на измеренном расстоянии и по измеренному азимуту.

Измерения РЛС как по дальности, так и по азимуту производятся с ошибками. Ошибки можно разделить на систематические и случайные. Случайные ошибки связаны с процессом радиолокации и с большой степенью точности имеют нормальный закон распределения с нулевым математическим ожиданием. Систематические ошибки связаны с дополнительными погрешностями другой природы. Может существовать значительная систематическая ошибка по азимуту. Если в системе РЛС находится несколько (больше 2) станций, появляется возможность определения систематических ошибок по азимуту, поскольку направления смещения замеров у разных станций различные [1].

# Модель наблюдения РЛС



РЛС расположена в точке (0, 0)

Обозначим вектор истинного положения ВС на плоскости  $\Pi$  в момент времени  $t_i$  за  $x_i$  .

Предполагаем, что в каждый момент  $t_i$  измерения производит только одна РЛС, номер которой задается функцией k(i). Считаем, что РЛС находится в точке  $l_{k(i)}$  плоскости П. Введем символы (показаны на рис. 1):  $e_{i1}$ ,  $e_{i2}$  — единичные векторы, указывающие направление действия ошибки по дальности и по азимуту, соответственно;  $r_i$  — истинное расстояние между ВС и РЛС;  $\sigma_r$  — среднеквадратичное отклонение случайной ошибки по дальности;  $\sigma_{\phi}$  — среднеквадратичное отклонение случайной ошибки по азимуту. Условимся, что среднеквадратичные отклонения случайных ошибок разных РЛС одинаковые, при этом систематические ошибки по азимуту разные и обозначаются  $\lambda_k$ .

Выпишем уравнение наблюдения:

$$z_i = x_i + e_{i1} \cdot \sigma_r w_i^r + e_{i2} \cdot r_i \sigma_{\phi} w_i^{\phi} + e_{i2} \cdot r_i \lambda_{k(i)} . \tag{1}$$

Здесь  $w_i^r, w_i^{\phi}$  – скалярные независимые нормально распределенные величины с нулевым

-

<sup>&</sup>lt;sup>1</sup> Мл. научный сотрудник.

математическим ожиданием и единичной дисперсией.

Введем предположение о равномерном прямолинейном движении ВС. В таком случае положение ВС на плоскости  $\Pi$  в момент времени  $t_i$  является линейной функцией начального положения и скорости.

Обозначим через  $y \in R^m$  вектор-столбец, включающий в себя эти параметры, а также все неизвестные систематические ошибки  $\lambda_k$ . Связь между  $x_i$  и y имеет вид

$$x_i = A_i y \,, \tag{2}$$

где  $A_i$  — зависящая только от времени  $t_i$  матрица. Поскольку параметры  $e_{i1}$ ,  $e_{i2}$ ,  $r_i$  зависят от  $x_i$ , уравнение (1) может быть представлено в виде

$$z_{i} = C_{i}(x_{i})y + D_{i}(x_{i})w_{i} = C_{i}(A_{i}y)y + D_{i}(A_{i}y)w_{i}.$$
(3)

Здесь  $C_i(\cdot)$  ,  $D_i(\cdot)$  — матричные функции переменной  $x_i$  ;  $w_i$  содержит случайные величины  $w_i^r$  ,  $w_i^\phi$  .

### Нелинейная фильтрация

Задача сводится к оценке неизвестной случайной величины Y, значениями которой являются все возможные векторы y, по результатам измерений при нелинейном уравнении наблюдения (3). Предполагается известным априорное распределение Y, заданное, например, в виде функции плотности  $\rho_0$ . Ненормированная плотность  $\rho'$  условного распределения по результатам измерений  $\{z_1, \ldots, z_k\}$  выражается [2]:

$$\rho'_{Y|\{z_1,\dots,z_k\}}(y) = \prod_{i=1}^k (g_i(y)e^{f_i(y)}) \rho_0(y);$$
(4)

$$g_i(y) = \frac{1}{2\pi |\det D_i(A_i y)|}; \quad f_i(y) = -\frac{1}{2} \Big( z_i - C_i(A_i y) y \Big)^T \Big( D_i^{-1}(A_i y) \Big)^T D_i^{-1}(A_i y) \Big( z_i - C_i(A_i y) y \Big), \quad y \in \mathbb{R}^m.$$

Окончательно плотность условного распределения вычисляется нормировкой выражения (4).

Формула (4) полностью характеризует условное распределение случайной величины Y по результатам измерений  $\{z_1,\ldots,z_k\}$ . Однако возникают значительные трудности с ее использованием. Рассмотрим вариант упрощения соотношения (4), основанный на замене  $x_i$  на  $z_i$ :

$$C_i(A_i y) = C_i(x_i) \approx C_i(z_i), \ D(A_i y) = D(x_i) \approx D_i(z_i).$$
 (5)

Приближенная функция ненормированной плотности имеет вид

$$\widetilde{\rho}'(y) = \prod_{i=1}^{k} \left( \widetilde{g}_{i} e^{\widetilde{f}_{i}(y)} \right) \rho_{0}(y) , \qquad (6)$$

$$\widetilde{g}_{i} = \frac{1}{2\pi \left| \det D_{i}(z_{i}) \right|}, \qquad \widetilde{f}_{i}(y) = -\frac{1}{2} \left( z_{i} - C_{i}(z_{i}) y \right)^{T} \left( D_{i}^{-1}(z_{i}) \right)^{T} D_{i}^{-1}(z_{i}) \left( z_{i} - C_{i}(z_{i}) y \right), \qquad y \in \mathbb{R}^{m} .$$

В (6) функции  $\widetilde{f}_i$  являются положительно определенными квадратичными формами y. Если априорная плотность  $\rho_0$  имеет нормальное распределение, то и  $\widetilde{\rho}'$  будет соответствовать нормально распределенной случайной величине  $\widetilde{Y}_k$  — приближению Y по итогам k измерений. Величина  $\widetilde{Y}_k$  полностью характеризуется своим математическим ожиданием  $m_k$  и матрицей ковариаций  $P_k$ , которые могут быть вычислены рекуррентно по следующим формулам (у  $C_k(z_k)$ ,  $D_k(z_k)$  опущены аргументы):

$$\beta_{k} = P_{k-1} C_{k}^{T} \left( C_{k} P_{k-1} C_{k}^{T} + D_{k} D_{k}^{T} \right)^{-1},$$

$$m_{k} = m_{k-1} + \beta_{k} \left( z_{k} - C_{k} m_{k-1} \right),$$

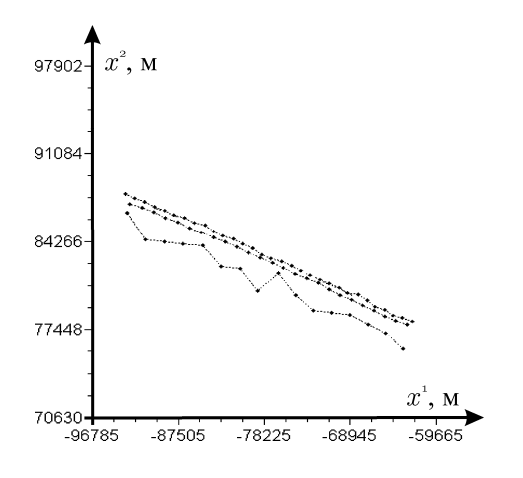
$$P_{k} = \left( I - \beta_{k} C_{k} \right) P_{k-1}.$$
(7)

Формулы (7) соответствуют уравнению наблюдения (3), в котором произведена замена (5)  $z_i = C_i(z_i)y + D_i(z_i)w_i \,. \tag{8}$ 

Соотношения (7) совпадают с соотношениями фильтрации Калмана [2], которые могли бы быть выписаны для (8), если бы в этом уравнении не было зависимости от  $z_i$  в правой части.

### Программная реализация

Алгоритм (7) реализован в исследовательской программе и показал хорошие результаты при проверках на модельных и реальных данных РЛС [1]. На рис. 2 показана выборка из нескольких треков РЛС, соответствующих движению одного ВС (хорошо виден трек с большой систематической ошибкой по азимуту, далеко отстоящий от остальных). На рис. 3 показаны те же треки после поворота на найденную систематическую ошибку по азимуту.



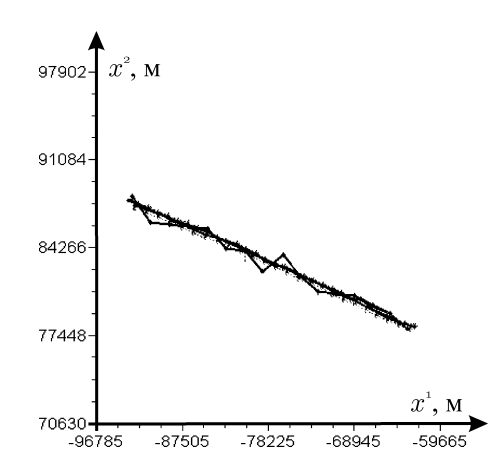


Рис. 2. Исходные треки от трех РЛС

Рис. 3. Три трека РЛС после обработки

Работа выполнена в рамках программы Президиума РАН «Математическая теория управления», при финансовой поддержке УрО РАН (проект № 09-П-1-1015), а также при поддержке РФФИ, грант 10-01-96006

# Литература

- 1. **Федотов А.А., Иванов А.Г., Бедин Д.А., Беляков А.В., Строков К.В.** Разработка и внедрение алгоритмов автоматизированных систем УВД (этап 3). Идентификация систематических ошибок нескольких РЛС по азимуту / Отчет о научно-экспериментальной работе. Екатеринбург: ИММ УрО РАН, 2010. (материал представлен на сайте: http://home.imm.uran.ru/sector3/otchetIMM1007/nita2010-7.html).
- 2. Миллер Б.М., Панков А.Р. Теория случайных процессов в примерах и задачах. М.: Физматлит, 2002 320 с.